

日本電信電話公社 正員 〇 種 谷 正  
日本電信電話公社 筈 本 昭

1. はじめに

図-1に示すようなA, BおよびCビル間の通路において、シールド工法で洞道を建設することになった。Aビルの基礎は場所打ち杭で、BおよびCビルの基礎はケーソン工法で掘りおろした深さまで達している。そして通路の下には、図-2のように3連の洞道が埋設されており、その両側には洞道建設時に打込まれた鋼矢板がAビル側は8m, B, Cビル側は6mの深さまで埋設されている。またこの現場は東京下町に位置し、埋土および砂質シルト層が地表部をおおひ、その下20mまでがN値0のシルト質粘土で、その下部が砂礫層である。この様に両側を建物の基礎および鋼矢板で仕切られ、上部には既設洞道がある軟弱地盤でのシールド工事による、既設洞道および周辺地盤に対する影響を調査するため、既設洞道の歪、傾斜、泥下および地盤の沈下等を測定した。

2. シールドの施工概要

手掘式圧気シールドで推進を始めたが約5m付近まで進んだ時点で切羽面より崩壊があった。崩壊は回りにわたり計70mと続いた。そこで崩壊防止のため、兼注を行って切羽を密閉して、ブラインド工法で推進することにした。ブラインドシールドの開口部は図-3のようになり、施工時は上部のみ開口した状態で開口率は10%であった。

ブラインドシールドの総推力は1000~1050tとなり、切羽単位面積当り約4~5kg/cm<sup>2</sup>で、開放型の5~10kg/cm<sup>2</sup>の5~7倍であった。裏込注量は空隙量1.36m<sup>3</sup>/m

に対して17~18%で注入率は100~105%であった。開放型の注入率(40%より)5~20%少なかった。また排土量は、設計排土量20.15m<sup>3</sup>/mに対して1割増のズリロイが約1割増で、開放型の約1/2より約15%少なかった。

3. 測定結果と考察

既設洞道の歪、傾斜、泥下および地中の泥下は、図-1のA~Cの位置で、地表面の泥下はその他の点に加え、計10点で測定した。地中の泥下は既設洞道下0mの点で行なった。

軸方向の歪は図-4のようになり、到達点Aでは上床版は圧縮され、下床版は引張られている。また到達点Bでは上床版は殆んど0であるが、下床版は時間とともに圧縮される傾

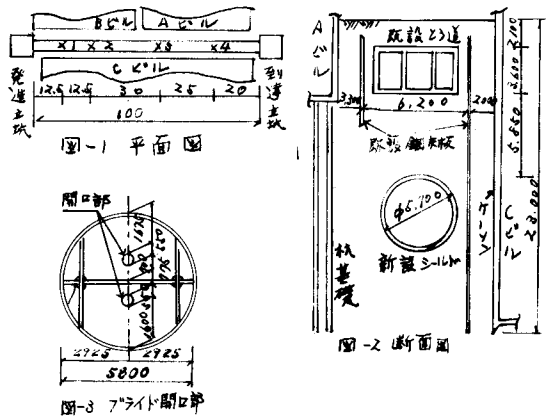


表 - 土質調査結果

試料	No	1	2	3	4
採取深度	m	6	11	16	21
土質名(現場判定)	シルト	シルト	シルト	シルト	シルト
基礎値					
単位体積重量	$\gamma$ t/m <sup>3</sup>	1.561	1.031	1.409	1.417
土粒子の比重	$G_s$	2.655	2.650	2.644	2.619
自然含水比	w %	87.0	108.6	114.6	112.0
液性限界	WL %	70.7	82.8	106.0	105.6
塑性限界	WP %	38.3	36.7	44.7	44.7
塑性指数	IP	32.4	46.1	61.3	60.9
組成					
石炭	%	0	0	0	0
砂	%	9.5	0	0	0
シルト	%	44.5	36.0	34.0	35.5
粘土	%	46.0	64.0	66.0	64.5
分析					
三角座標分類名物		粘土	粘土	粘土	粘土
一連圧縮強度	$\sigma_{100}$ kg/cm <sup>2</sup>	0.479	0.561	0.648	0.878
三軸圧縮強度	$\sigma_{30}$ kg/cm <sup>2</sup>	0.305	0.251	0.338	0.410
摩擦角	$\phi$ 度	8.0°	4.0°	3.0°	3.5°
圧縮率	$e_0$	2.027	2.695	2.854	2.746
先行荷重	$P_0$ kg/cm <sup>2</sup>	1.780	1.01	1.47	1.74
圧縮指数	$C_c$	0.54	1.115	1.109	1.064
試験					
圧縮係数	$\alpha_{100}$ kg/cm <sup>2</sup>	6.67x10 <sup>-5</sup>	3.06x10 <sup>-4</sup>	1.74x10 <sup>-4</sup>	1.53x10 <sup>-4</sup>
圧縮係数	$\alpha_{30}$ kg/cm <sup>2</sup>	2.5x10 <sup>-3</sup>	1.07x10 <sup>-3</sup>	1.72x10 <sup>-3</sup>	1.11x10 <sup>-3</sup>
透水係数	$K_{100}$ cm/s	24x10 <sup>-8</sup>	2.29x10 <sup>-8</sup>	2.89x10 <sup>-8</sup>	4.71x10 <sup>-8</sup>

向にある。これは利点ノとの間の  
 沈下加角傾点の沈下より大きく、利  
 点ノト、より近い所が沈下している  
 ことを示す。利点之では上床版で20  
 ㎝、下床版で10㎝伸びたが、これ  
 は崩壊より空荷がでる、沈下が大  
 きくない、河道自体が回復されな  
 ぬがある。

指道と直角方向の傾斜は、図-4  
 に示すように利点ノ、 $\Delta$ 、 $\times$ 、 $\square$ のCビ  
 ル倒へ傾いているが、これはAビ  
 ルの杭基礎防護の棄注の影響と思われ  
 る。軸方向については、シールド通  
 過手前20m付近から到達直前倒へ傾  
 斜を始め、1週間後から回復を始め  
 ており、沈下の軸を2対1している。

利点ノトについて、直角方向は殆んど傾斜していないが、  
 軸方向の傾斜は他の利点と同じ傾向を示している。しかし  
 回復は早く、若干値が大きくなって測定不能となった。こ  
 れはシールド通過後の沈下が大きくなり、崩壊の前兆を示  
 しているものではないかと思う。

河道と地表面の沈下は、量、時期とも同じで、沈下量は  
 最終沈下量と見られる時期が開放型で約20cm、ブライ  
 ンド型で約15cmとなった。また図-5よりわかるように  
 ブラインド型の場合シールド通過後の1ヶ月間、沈下は  
 おさまっているが、開放型の場合は2倍以上の期間続い  
 ている。それとも切羽前方向の沈下の影響は、ブラインドの  
 場合は10m以内の範囲に対してのみ、開放型の場合は20  
 m以内の範囲まで影響が及んでいる。

またシールド接近時の既設河道下20mの点の沈下は、河  
 道基準点とると開放型の場合は約1cm沈下したが、ブ  
 ラインドの場合は逆に約1cm隆起した。このことは、既設河道の存在が地表面の沈下、隆起を緩和するよう  
 働いたことを示す。

4. おまけ

地表面への影響は、ブラインド型の場合はシールド到達10m手前から始まり、通過後0.5ヶ月間続き、沈下量  
 は15cmとなった。これに対して、開放型の場合はシールド到達手前40mから始まり、通過後0.5ヶ月間以上続  
 き、沈下量は20cmあるが、地表面への影響はブラインド型の方が小さかった。またシールド通過上部に既  
 設構造物があると、地表面の沈下、隆起は緩和されることわかった。

最後に本利点についてお話しして下さった関係各位に深く感謝申し上げます。

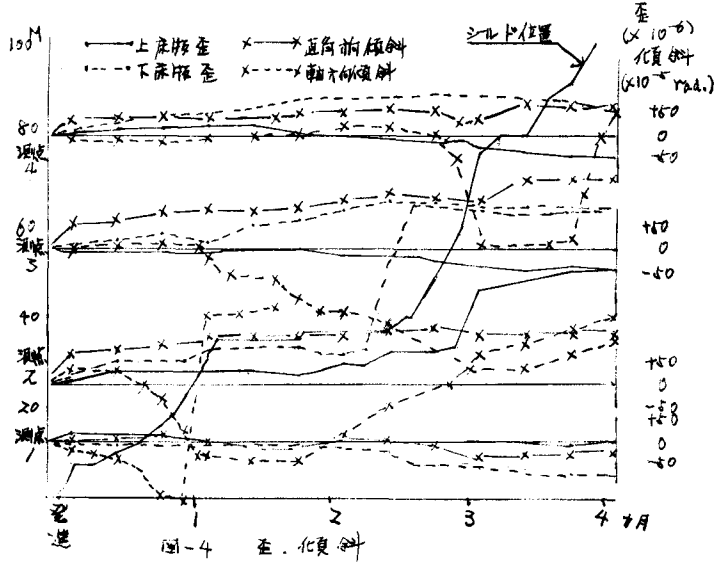


図-4 歪、傾斜

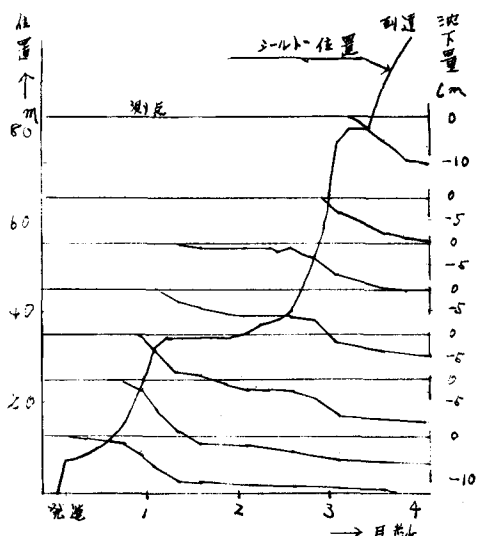


図-5 沈下